

VFL display description

Part Number: DEL1058-A

Manufacturer: FUTABA

Heater: $V = 2,60-2,70V_{rms}$ or VDC

Anode: $V = 27,0V$

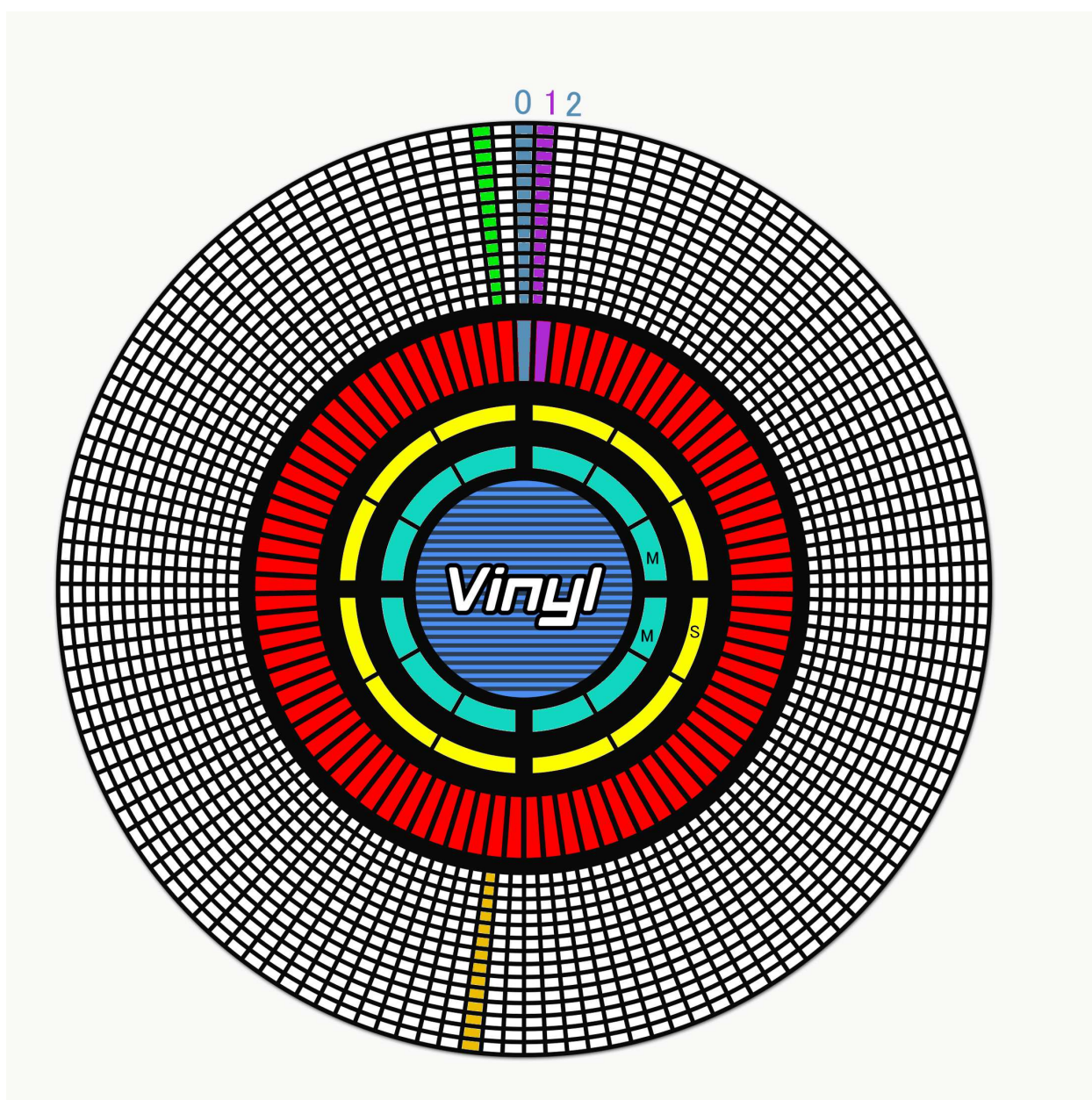
135 sectors playing (C0-C134)

85 sectors cues (P0-P84)

3 sector vinyl sensor (V, M, S)

Total: 223 segments

2 grids (left and right)



Num.byte	b7	b6	b5	b4	b3	b2	b1	b0
0	NC?	R grid	L grid	NC?	V	M	S	P70
1	P69	P68	P67	P66	P65	P64, P71	P63, P72	P62, P73
2	P61, P74	P60, P75	P59, P76	P58, P77	P57, P78	P56, P79	P55, P80	P54, P81
3	C45	C44	C43	P53, P82	C42	C41	C40	P52, P83
4	C46, C39	P51, P84	C47, C38	P50, P85	C48, C37	P49, P86	C49, C36	P48, P87
5	C50, C35	P47, P88	C51, C34	P46, P89	C52, C33	P45, P90	C53, C32	P44, P91
6	C54, C31	P43, P92	C55, C30	P42, P93	C56, C29	P41, P94	C57, C28	P40, P95
7	C58, C27	P39, P96	C59, C26	P38, P97	C60, C25	P37, P98	C61, C24	P36, P99
8	C62, C23	P35, P100	C63, C22	P34, P101	C64, C21	P33, P102	C65, C20	P32, P103
9	C66, C19	P31, P104	C67, C18	P30, P105	C68, C17	P29, P106	C69, C16	P28, P107
10	C70, C15	P27, P108	C71, C14	P26, P109	C72, C13	P25, P110	C73, C12	P24, P111
11	C74, C11	P23, P112	C75, C10	P22, P113	C76, C9	P21, P114	C77, C8	P20, P115
12	C78, C7	P19, P116	C79, C6	P18, P117	C80, C5	P17, P118	C81, C4	P16, P119
13	C82, C3	C2	P15, P120	C1	C0	P14, P121	C84	C83
14	P13, P122	P12, P123	P11, P124	P10, P125	P9, P126	P8, P127	P7, P128	P6, P129
15	P5, P130	P4, P131	P3, P132	P2	P1	P0	P134	P133

Double grid

Num.byte	b7	b6	b5	b4	b3	b2	b1	b0
0	0	1	2	3	4	5	6	7
	0	1	1	0	V	M	S	P70
1	8	9	10	11	12	13	14	15
	P69	P68	P67	P66	P65			
2	16	17	18	19	29	21	22	23
3	24	25	26	27	28	29	30	31
	C45	C44	C43		C42	C41	C40	
4	32	33	34	35	36	37	38	39
5	40	41	42	43	44	45	46	47
6	48	49	50	51	52	53	54	55
7	56	57	58	59	60	61	62	63
8	64	65	66	67	68	69	70	71
9	72	73	74	75	76	77	78	79
10	80	81	82	83	84	85	86	87
11	88	89	90	91	92	93	94	95
12	96	97	98	99	100	101	102	103
13	104	105	106	107	108	109	110	111
		C2		C1	C0		C84	C83
14	112	113	114	115	116	117	118	119
15	120	121	122	123	124	125	126	127
				P2	P1	P0	P134	P133

Left grid

Num.byte	b7	b6	b5	b4	b3	b2	b1	b0
16	128	129	130	131	132	133	134	135
	0	0	1	0				
17	136	137	138	139	140	141	142	143
						P71	P72	P73
18	144	145	146	147	148	149	150	151
	P74	P75	P76	P77	P78	P79	P80	P81
19	152	153	154	155	156	157	158	159
				P82				P83
20	160	161	162	163	164	165	166	167
	C46	P84	C47	P85	C48	P86	C49	P87
21	168	169	170	171	172	173	174	175
	C50	P88	C51	P89	C52	P90	C53	P91
22	176	177	178	179	180	181	182	183
	C54	P92	C55	P93	C56	P94	C57	P95
23	184	185	186	187	188	189	190	191
	C58	P96	C59	P97	C60	P98	C61	P99
24	192	193	194	195	196	197	198	199
	C62	P100	C63	P101	C64	P102	C65	P103
25	200	201	202	203	204	205	206	207
	C66	P104	C67	P105	C68	P106	C69	P107
26	208	209	210	211	212	213	214	215
	C70	P108	C71	P109	C72	P110	C73	P111
27	216	217	218	219	220	221	222	223
	C74	P112	C75	P113	C76	P114	C77	P115
28	224	225	226	227	228	229	230	231
	C78	P116	C79	P117	C80	P118	C81	P119
29	232	233	234	235	236	237	238	239
	C82		P120			P121		
30	240	241	242	243	244	245	246	247
	P122	P123	P124	P125	P126	P127	P128	P129
31	248	249	250	251	252	253	254	255
	P130	P131	P132					

Right grid

Num.byte	b7	b6	b5	b4	b3	b2	b1	b0
32	256	257	258	259	260	261	262	263
	0	1	0	0				
33	264	265	266	267	268	269	270	271
						P64	P63	P62
34	272	273	274	275	276	277	278	279
	P61	P60	P59	P58	P57	P56	P55	P54
35	280	281	282	283	284	285	286	287
				P53				P52
36	288	289	290	291	292	293	294	295
	C39	P51	C38	P50	C37	P49	C36	P48
37	296	297	298	299	300	301	302	303
	C35	P47	C34	P46	C33	P45	C32	P44
38	304	305	306	307	308	309	310	311
	C31	P43	C30	P42	C29	P41	C28	P40
39	312	313	314	315	316	317	318	319
	C27	P39	C26	P38	C25	P37	C24	P36
40	320	321	322	323	324	325	326	327
	C23	P35	C22	P34	C21	P33	C20	P32
41	328	329	330	331	332	333	334	335
	C19	P31	C18	P30	C17	P29	C16	P28
42	336	337	338	339	340	341	342	343
	C15	P27	C14	P26	C13	P25	C12	P24
43	344	345	346	347	348	349	350	351
	C11	P23	C10	P22	C9	P21	C8	P20
44	352	353	354	355	356	357	358	359
	C7	P19	C6	P18	C5	P17	C4	P16
45	360	361	362	363	364	365	366	367
	C3		P15			P14		
46	368	369	370	371	372	373	374	375
	P13	P12	P11	P10	P9	P8	P7	P6
47	376	377	378	379	380	381	382	383
	P5	P4	P3					

Author: Andrei Anatska